

# МАГНИТНЫЕ ФАЗОВЫЕ ПЕРЕХОДЫ В ФЕРРОБОРАТАХ $\text{Nd}_{1-x}\text{Dy}_x\text{Fe}_3(\text{BO}_3)_4$

**A. A. Демидов<sup>a</sup>\*, И. А. Гудим<sup>b</sup>, Е. В. Еремин<sup>b</sup>**

<sup>a</sup> Брянский государственный технический университет  
241035, Брянск, Россия

<sup>b</sup> Институт физики им. Л. В. Киренского Сибирского отделения Российской академии наук  
660038, Красноярск, Россия

Поступила в редакцию 26 февраля 2011 г.

Исследованы магнитные свойства монокристаллов ферроборатов замещенных составов  $\text{Nd}_{1-x}\text{Dy}_x\text{Fe}_3(\text{BO}_3)_4$  ( $x = 0.15, 0.25$ ) с конкурирующими обменными Nd–Fe- и Dy–Fe-взаимодействиями. Для каждого состава обнаружены спонтанный спин-переориентационный переход из легкоосного в легкоплоскостное состояние и ступенчатые аномалии на кривых намагничивания при спин-флоп-переходе, индуцируемом магнитным полем  $\mathbf{B} \parallel \mathbf{c}$ . Измеренные свойства и эффекты проинтерпретированы в рамках единого теоретического подхода, который базируется на приближении молекулярного поля и расчетах в модели кристаллического поля для редкоземельного иона. Описаны экспериментальные температурные зависимости начальной магнитной восприимчивости от  $T = 2$  К до  $T = 300$  К, аномалии на кривых намагничивания при  $\mathbf{B} \parallel \mathbf{c}$  в полях до 1.8 Тл, их эволюция с температурой, а также температурные и полевые зависимости намагниченности в полях до 9 Тл. При интерпретации экспериментальных данных определены параметры кристаллического поля тригональной симметрии для редкоземельной подсистемы и параметры обменных Nd–Fe- и Dy–Fe-взаимодействий.

## 1. ВВЕДЕНИЕ

Редкоземельные ферробораты  $\text{RFe}_3(\text{BO}_3)_4$  представляют большой интерес для физики магнитных явлений как  $f$ – $d$ -соединения со своей спецификой взаимодействия редкоземельной и железной подсистем. Установлено, что  $\text{RFe}_3(\text{BO}_3)_4$  принадлежат к классу мультиферроиков, в которых существуют упругие, магнитные и электрические параметры порядка [1, 2]. Главным элементом кристаллической структуры редкоземельных ферроборатов (пространственная группа  $R\bar{3}2$ ) являются спиральные цепочки октаэдров  $\text{FeO}_6$ , соприкасающиеся по ребру, ориентированные вдоль оси  $c$  [3]. Связи между ионами  $\text{Fe}^{3+}$  вдоль цепочки и между цепочками таковы, что антиферромагнитное взаимодействие внутри цепочки сильнее, чем взаимодействие между цепочками. Железная подсистема в  $\text{RFe}_3(\text{BO}_3)_4$  упорядочивается при температурах Нееля  $T_N$  порядка 30–40 К. Редкоземельная подсистема подмагничена  $f$ – $d$ -взаимодействием и дает существенный

вклад в магнитную анизотропию и ориентацию магнитных моментов. Поскольку ферробораты с разными  $\text{R}$  имеют разные магнитные структуры, это дает возможность выявить роль редкоземельной подсистемы в формировании магнитной структуры при изучении магнитных характеристик и фазовых переходов апробированными теоретическими моделями (например, модель кристаллического поля для R-иона в соединении). Ферробораты могут быть легкоосными (магнитные моменты  $\text{R}$  и Fe ориентированы вдоль оси  $c$  кристалла), легкоплоскостными (магнитные моменты  $\text{R}$  и Fe лежат в плоскости  $ab$  кристалла), либо как в  $\text{GdFe}_3(\text{BO}_3)_4$  и  $\text{HoFe}_3(\text{BO}_3)_4$ , спонтанно переходить из легкоосного в легкоплоскостное состояние.

Первые результаты по изучению ферроборатов замещенных составов  $\text{R}_{1-x}\text{R}'_x\text{Fe}_3(\text{BO}_3)_4$  появились в 2008–2009 гг. [4–8]. Принадлежность  $\text{R}_{1-x}\text{R}'_x\text{Fe}_3(\text{BO}_3)_4$  к классу мультиферроиков в настоящее время устанавливается [4, 6–8]. При наличии в  $\text{R}_{1-x}\text{R}'_x\text{Fe}_3(\text{BO}_3)_4$  конкурирующих обменных R–Fe- и R'–Fe-взаимодействий возможно появление эффектов, обусловленных конкуренцией

---

\*E-mail: demandr@yandex.ru

вкладов, например, реализация спонтанных переориентационных переходов между легкоосным и легкоплоскостным состояниями [4–8].

В  $\text{NdFe}_3(\text{BO}_3)_4$  магнитные моменты неодимовой и железной подсистем лежат в базисной плоскости  $ab$  [2, 9];  $\text{DyFe}_3(\text{BO}_3)_4$  имеет ориентацию магнитных моментов Dy и Fe вдоль тригональной оси  $c$  и проявляет спин-флоп-переход при  $\mathbf{B} \parallel c$  [10]. Таким образом, в результате конкуренции разных вкладов от ионов  $\text{Nd}^{3+}$  и  $\text{Dy}^{3+}$  в магнитную анизотропию  $\text{Nd}_{1-x}\text{Dy}_x\text{Fe}_3(\text{BO}_3)_4$  возможно возникновение спонтанных и индуцированных магнитным полем спин-переориентационных переходов от оси  $c$  к плоскости  $ab$  [4, 5]. Для  $\text{Nd}_{0.75}\text{Dy}_{0.25}\text{Fe}_3(\text{BO}_3)_4$  [4, 7] и  $\text{Nd}_{1-x}\text{Dy}_x\text{Fe}_3(\text{BO}_3)_4$  ( $x = 0.1, 0.25$ ) [5] были обнаружены аномалии в поведении магнитной восприимчивости, намагниченности, спонтанной электрической поляризации и магнитострикции, построены  $H$ - $T$ -диаграммы возможных магнитных фаз.

Однако некоторые принципиальные вопросы для ферроборатов  $\text{Nd}_{1-x}\text{Dy}_x\text{Fe}_3(\text{BO}_3)_4$  остаются открытыми. Например, для  $\text{Nd}_{0.75}\text{Dy}_{0.25}\text{Fe}_3(\text{BO}_3)_4$  к данному моменту имеются экспериментальные данные с несовпадающим характером аномалий на кривых намагничивания при  $\mathbf{B} \parallel c$  [4, 5]. В результате были построены различающиеся  $H$ - $T$ -диаграммы возможных магнитных фаз и высказываются разные мнения о природе и механизмах наблюдавшихся аномалий [4, 5, 7]. В работе [4] показано, что в  $\text{Nd}_{0.75}\text{Dy}_{0.25}\text{Fe}_3(\text{BO}_3)_4$  ниже  $T_N \approx 32$  К антиферромагнитное состояние является легкоплоскостным и аномалия на кривых магнитной восприимчивости вблизи  $T \approx 25$  К обусловлена спин-переориентационным переходом из легкоплоскостного в легкоосное состояние. Обнаружены аномалии в поведении намагниченности, спонтанной электрической поляризации и магнитострикции при спин-флоп-переходе, индуцируемом магнитным полем  $\mathbf{B} \parallel c$  и построена фазовая  $H$ - $T$ -диаграмма. В работе [5] на температурной зависимости намагниченности видны две особенности при  $T_1 \approx 16$  К,  $T_2 \approx 24$  К для  $\text{Nd}_{0.75}\text{Dy}_{0.25}\text{Fe}_3(\text{BO}_3)_4$  и одна при  $T \approx 8$  К для  $\text{Nd}_{0.9}\text{Dy}_{0.1}\text{Fe}_3(\text{BO}_3)_4$ . Также обнаружены ступенчатые аномалии на кривых намагничивания  $M_c(B)$   $\text{Nd}_{0.75}\text{Dy}_{0.25}\text{Fe}_3(\text{BO}_3)_4$  вблизи поля спин-флоп-перехода, причем на аналогичных зависимостях в работе [4] наблюдалась только одна аномалия. В работе [6] изучены упругие свойства  $\text{Nd}_{0.75}\text{Dy}_{0.25}\text{Fe}_3(\text{BO}_3)_4$  ультразвуковым методом. Исследованы особенности на температурных и магнитополевых зависимостях скорости и поглощения поперечного звука. Эти особенности тракту-

ются как проявления магнитных фазовых переходов. Представлен отличающийся от результатов работы [4] вариант низкотемпературной части фазовой  $H$ - $T$ -диаграммы.

Данная работа посвящена экспериментальному и теоретическому исследованию низкотемпературных магнитных фазовых переходов в  $\text{Nd}_{1-x}\text{Dy}_x\text{Fe}_3(\text{BO}_3)_4$  ( $x = 0.15, 0.25$ ), сравнению полученных экспериментальных данных с результатами расчетов, проведенных в рамках единого теоретического подхода, и определению параметров соединений.

## 2. ЭКСПЕРИМЕНТ

Монокристаллы выращивались из растворов-расплавов на основе тримолибдата висмута 75 масс. %  $\{\text{Bi}_2\text{Mo}_3\text{O}_{12} + 3\text{B}_2\text{O}_3 + 0.6[(1-x)\text{Nd}_2\text{O}_3 + x\text{Dy}_2\text{O}_3]\} + 25$  масс. %  $\text{Nd}_{1-x}\text{Dy}_x\text{Fe}_3(\text{BO}_3)_4$  по технологии, подробно описанной в работе [5]. В растворе-расплаве массой 300 г одновременно на четырех затравках объемом примерно 1  $\text{мм}^3$  росли кристаллы в одинаковых гидродинамических условиях. Кристаллодержатель вращался со скоростью 30 об/мин реверсивно с периодом 1 мин. Величина переохлаждения соответствовала приросту не более 1 мм/сут. По окончании процесса выращивания кристаллодержатель приподнимался над раствором-расплавом и кристаллы охлаждались до комнатной температуры при отключенном питании печи. Выращенные кристаллы размером 6–10 мм имели небольшую треугольную грань  $\{0001\}$  пинакоида перпендикулярную оси  $C_3$ . Образцы необходимых ориентаций изготавливались в соответствии с морфологией кристалла. Они имели хорошее оптическое качество и не содержали видимых дефектов. Для определения содержания неодима и диспрозия в кристалле использовался рентгеноспектральный флуоресцентный анализ. Магнитные измерения были выполнены на установке Physical Properties Measurement System (Quantum Design) в температурном интервале 2–300 К и магнитных полях до 9 Тл.

## 3. МЕТОДИКА РАСЧЕТОВ

За магнитные свойства ферроборатов  $\text{Nd}_{1-x}\text{Dy}_x\text{Fe}_3(\text{BO}_3)_4$  ответственны обе магнитные подсистемы, редкоземельная (неодимовая и диспрозиевая) и железная, взаимодействующие друг с другом. Взаимодействием внутри R-подсистемы

можно пренебречь, поскольку ни один из редкоземельных ферроборатов [3, 11] и изоструктурных им редкоземельных алюмоборатов [12] не имеет собственного упорядочения в R-подсистеме. Железная подсистема может рассматриваться как совокупность двух антиферромагнитных подрешеток. Также в виде двух подрешеток может быть представлена и R-подсистема, подмагниченная за счет  $f$ - $d$ -взаимодействия.

При расчетах использовался теоретический подход, успешно примененный к чистым ферроборатам  $\text{RFe}_3(\text{BO}_3)_4$  с  $\text{R} = \text{Tb}$  [13–15],  $\text{Nd}$  [9],  $\text{Dy}$  [10, 16],  $\text{Pr}$  [17],  $\text{Er}$  [18, 19],  $\text{Ho}$  [20] и адаптированный для ферроборатов замещенных составов  $\text{Nd}_{1-x}\text{Dy}_x\text{Fe}_3(\text{BO}_3)_4$  с конкурирующими обменными  $\text{Nd}$ – $\text{Fe}$ - и  $\text{Dy}$ – $\text{Fe}$ -взаимодействиями. Данный теоретический подход основывается на модели кристаллического поля для редкоземельной подсистемы и приближении молекулярного поля.

Исходя из магнитной структуры и иерархии взаимодействий  $\text{Nd}_{1-x}\text{Dy}_x\text{Fe}_3(\text{BO}_3)_4$ , в присутствии магнитного поля  $\mathbf{B}$  эффективные гамильтонианы R/Fe иона  $i$ -й ( $i = 1, 2$ ) подрешетки могут быть записаны в следующем виде

$$\mathcal{H}_i(\text{Nd}) = \mathcal{H}_i^{CF(\text{Nd})} - g_J^{\text{Nd}} \mu_B \mathbf{J}_i^{\text{Nd}} [\mathbf{B} + \lambda_{fd}^{\text{Nd}} \mathbf{M}_i^{\text{Fe}}], \quad (1)$$

$$\mathcal{H}_i(\text{Dy}) = \mathcal{H}_i^{CF(\text{Dy})} - g_J^{\text{Dy}} \mu_B \mathbf{J}_i^{\text{Dy}} [\mathbf{B} + \lambda_{fd}^{\text{Dy}} \mathbf{M}_i^{\text{Fe}}], \quad (2)$$

$$\begin{aligned} \mathcal{H}_i(\text{Fe}) = -g_S \mu_B \mathbf{S}_i [\mathbf{B} + \lambda \mathbf{M}_J^{\text{Fe}} + (1-x) \lambda_{fd}^{\text{Nd}} \mathbf{m}_i^{\text{Nd}} + \\ + x \lambda_{fd}^{\text{Dy}} \mathbf{m}_i^{\text{Dy}}], \quad j = 1, 2, \quad j \neq i. \end{aligned} \quad (3)$$

Здесь  $\mathcal{H}_i^{CF(\text{R})}$  — гамильтониан кристаллического поля,  $g_J^{\text{R}}$  — фактор Ланде,  $\mathbf{J}_i^{\text{R}}$  — оператор углового момента R-иона,  $g_S = 2$  —  $g$ -фактор,  $\mathbf{S}_i$  — оператор спинового момента иона железа,  $\lambda_{fd}^{\text{R}} < 0$  и  $\lambda < 0$  — молекулярные константы R–Fe- и Fe–Fe-антиферромагнитных взаимодействий.

Магнитные моменты  $i$ -й железной  $\mathbf{M}_i^{\text{Fe}}$  и редкоземельной  $\mathbf{m}_i^{\text{R}}$  подрешеток в расчете на формульную единицу определяются соотношениями

$$\mathbf{M}_i^{\text{Fe}} = 3g_S \mu_B \langle \mathbf{S}_i \rangle, \quad \mathbf{m}_i^{\text{R}} = g_J^{\text{R}} \mu_B \langle \mathbf{J}_i^{\text{R}} \rangle. \quad (4)$$

Правая часть уравнения для  $\mathbf{M}_i^{\text{Fe}}$  представляет собой соответствующую функцию Бриллюэна, которая получается в случае эквидистантного спектра S-иона  $\text{Fe}^{3+}$  для теплового среднего  $\langle S_i \rangle$ . Ион  $\text{Fe}^{3+}$  в  $\text{RFe}_3(\text{BO}_3)_4$  находится в высокоспиновом состоянии [11], это дает максимальное значение магнитного момента иона  $5\mu_B$ .

Выражение для гамильтониана кристаллического поля  $\mathcal{H}^{CF(\text{R})}$  в неприводимых тензорных операторах  $C_q^k$  имеет вид

$$\begin{aligned} \mathcal{H}^{CF(\text{R})} = & B_0^2 C_0^2 + B_0^4 C_0^4 + B_3^4 (C_{-3}^4 - C_3^4) + B_0^6 C_0^6 + \\ & + B_3^6 (C_{-3}^6 - C_3^6) + B_6^6 (C_{-6}^6 + C_6^6). \end{aligned} \quad (5)$$

Параметры кристаллического поля  $B_q^k$  для ионов  $\text{Nd}^{3+}$  и  $\text{Dy}^{3+}$  в  $\text{Nd}_{1-x}\text{Dy}_x\text{Fe}_3(\text{BO}_3)_4$  неизвестны. Также нет определенной информации о расщеплении основного мультиплета ионов  $\text{Nd}^{3+}$  и  $\text{Dy}^{3+}$  в  $\text{Nd}_{1-x}\text{Dy}_x\text{Fe}_3(\text{BO}_3)_4$ .

Вычисление величин и ориентаций магнитных моментов Fe- и R-подсистем при решении самосогласованных задач на основе гамильтонианов (1)–(3) при условии минимума соответствующего термодинамического потенциала позволяет рассчитать области устойчивости различных магнитных фаз, поля фазовых переходов, кривые намагничивания, восприимчивость и т. д. В рамках стандартной термодинамической теории возмущений, изложенной для  $f$ - $d$ -соединений в монографии [21], термодинамический потенциал может быть записан следующим образом:

$$\begin{aligned} \Phi(T, B) = & \frac{1}{2} \sum_{i=1}^2 \left[ -(1-x) k_B T \ln Z_i(\text{Nd}) - \right. \\ & - x k_B T \ln Z_i(\text{Dy}) + (1-x) \frac{1}{2} g_J^{\text{Nd}} \mu_B \langle \mathbf{J}_i^{\text{Nd}} \rangle \lambda_{fd}^{\text{Nd}} \mathbf{M}_i^{\text{Fe}} + \\ & + x \frac{1}{2} g_J^{\text{Dy}} \mu_B \langle \mathbf{J}_i^{\text{Dy}} \rangle \lambda_{fd}^{\text{Dy}} \mathbf{M}_i^{\text{Fe}} - 3k_B T \ln Z_i(\text{Fe}) + \\ & + \frac{1}{2} 3g_S \mu_B \langle \mathbf{S}_i \rangle (\lambda \mathbf{M}_j^{\text{Fe}} + (1-x) \lambda_{fd}^{\text{Nd}} \mathbf{m}_i^{\text{Nd}} + \\ & \left. + x \lambda_{fd}^{\text{Dy}} \mathbf{m}_i^{\text{Dy}}) + \Phi_{an}^i \right], \end{aligned} \quad (6)$$

где  $Z_i(\text{R/Fe})$  — статистические суммы, рассчитываемые на гамильтонианах (1)–(3),  $\Phi_{an}^i$  — энергия анизотропии для  $i$ -й подрешетки Fe-подсистемы, которая гораздо меньше, чем обменные энергии, и поэтому может быть записана как аддитивное слагаемое. Для кристалла тригональной симметрии она имеет вид

$$\Phi_{an}^i = K_2 \cos^2 \vartheta_i + K_6 \sin^6 \vartheta_i \cos 6\varphi_i, \quad (7)$$

где  $K_2 > 0$  — одноосная константа,  $K_6 < 0$  — константа анизотропии в базисной плоскости,  $\vartheta_i$  и  $\varphi_i$  — полярный и азимутальный углы вектора магнитного момента железа  $\mathbf{M}_i^{\text{Fe}}$ .

Намагниченность и восприимчивость  $\text{Nd}_{1-x}\text{Dy}_x\text{Fe}_3(\text{BO}_3)_4$  равны

$$\mathbf{M} = \frac{1}{2} \sum_{i=1}^2 \left( \mathbf{M}_i^{\text{Fe}} + (1-x) \mathbf{m}_i^{\text{Nd}} + x \mathbf{m}_i^{\text{Dy}} \right),$$

$$\chi_k = \chi_k^{\text{Fe}} + (1-x)\chi_k^{\text{Nd}} + x\chi_k^{\text{Dy}}, \quad k = a, b, c. \quad (8)$$

В упорядоченной фазе начальные магнитные восприимчивости соединения можно найти из начальных линейных участков кривых намагничивания, рассчитанных для соответствующих направлений внешнего магнитного поля. В парамагнитной области, где взаимодействием между R- и Fe-подсистемами можно пренебречь, магнитная восприимчивость R-подсистемы рассчитывается по известной формуле Ван Флека, энергетический спектр и волновые функции для которой вычисляются на основе гамильтониана кристаллического поля (5). Восприимчивость Fe-подсистемы  $\chi_p^{\text{Fe}}$  может быть описана законом Кюри–Вейсса с соответствующей парамагнитной температурой Нееля  $\Theta$ :

$$\begin{aligned} \chi_p^{\text{Fe}} &= \frac{\mu_{\text{eff}}^2}{3k_B(T - \Theta)}, \\ \mu_{\text{eff}}^2 &= 105\mu_B^2 \quad \text{для } S = \frac{5}{2}. \end{aligned} \quad (9)$$

Вклад R-подсистемы в магнитную часть теплопроводности соединений  $\text{Nd}_{1-x}\text{Dy}_x\text{Fe}_3(\text{BO}_3)_4$  рассчитывается по обычной квантовомеханической формуле (на один редкоземельный ион, т. е. на одну формульную единицу):

$$\begin{aligned} C &= (1-x)C_{\text{Nd}} + xC_{\text{Dy}}, \\ C_R &= k_B \left( \frac{\langle E^2 \rangle - \langle E \rangle^2}{(k_B T)^2} \right). \end{aligned} \quad (10)$$

Тепловые средние  $\langle E^2 \rangle$  и  $\langle E \rangle^2$  вычисляются на спектре редкоземельного иона, формируемого кристаллическим полем и взаимодействиями с Fe-подсистемой и внешним магнитным полем.

#### 4. РЕЗУЛЬТАТЫ И ОБСУЖДЕНИЕ

Для теоретического исследования магнитных свойств ферроборатов  $\text{Nd}_{1-x}\text{Dy}_x\text{Fe}_3(\text{BO}_3)_4$  необходимо в первую очередь определить параметры кристаллического поля  $B_q^k$ , поскольку именно кристаллическое поле, формируя электронную структуру редкоземельного иона (его спектр и волновые функции), дает вклад в анизотропию магнитных свойств редкоземельных ферроборатов и в парамагнитной, и в упорядоченной областях температур. Для определения параметров  $B_q^k$  были использованы экспериментальные данные для температурных зависимостей начальной магнитной восприимчивости  $\text{Nd}_{1-x}\text{Dy}_x\text{Fe}_3(\text{BO}_3)_4$  ( $x = 0.15$ ,

$0.25$ ) вдоль тригональной оси и в базисной плоскости в парамагнитной области от  $T_N \approx 31$  К до 300 К. В качестве начальных значений параметров кристаллического поля, с которых стартовала процедура минимизации соответствующей целевой функции, были взяты параметры для ранее исследованных чистых ферроборатов  $\text{NdFe}_3(\text{BO}_3)_4$  [9] (для  $\text{Nd}_{1-x}$ -подсистемы) и  $\text{DyFe}_3(\text{BO}_3)_4$  [10] (для  $\text{Dy}_x$ -подсистемы).

Полученные параметры, сильно отличающиеся от стартовых, отбрасывались, поскольку для редкоземельных соединений определенной структуры параметры  $B_q^k$  не слишком сильно различаются по редкоземельному ряду. Для каждого из отобранных наборов было проверено, что восприимчивости  $\chi_c(T)$  и  $\chi_{\perp c}(T)$  в парамагнитной области описываются хорошо, причем парамагнитная температура Нееля для Fe-подсистемы для двух составов оказалась практически одинаковой:  $\Theta = -132$  К ( $x = 0.15$ ),  $\Theta = -135$  К ( $x = 0.25$ ).

Для определения, какой из найденных наборов параметров  $B_q^k$  позволяет описать всю совокупность измеренных магнитных характеристик  $\text{Nd}_{1-x}\text{Dy}_x\text{Fe}_3(\text{BO}_3)_4$  ( $x = 0.15, 0.25$ ), рассчитывались кривые намагничивания вдоль тригональной оси и в базисной плоскости  $M_{c,\perp c}(B)$  с тем, чтобы подобрать параметры  $\lambda_{fd}^R$  (антиферромагнитных Nd–Fe- и Dy–Fe-взаимодействий) и  $\lambda_1$  (внутрицепочечного антиферромагнитного Fe–Fe-взаимодействия). Для антиферромагнитной ориентации магнитных моментов Fe-подсистемы вдоль тригональной оси при  $T < 4.2$  К и  $\mathbf{B} \parallel$  с железной подсистемой вклада в намагниченность не дает вследствие малости параллельной восприимчивости, и по начальному участку  $M_c(B)$  можно подобрать параметр  $\lambda_{fd}^R$ , к которому кривая намагничивания на этом участке чрезвычайно чувствительна. При  $B > B_{SF}$  ( $B_{SF}$  — поле спин-флоп-перехода) наклон кривой намагничивания определяется величиной внутрицепочечного обменного Fe–Fe-взаимодействия  $\lambda_1$ , поскольку поворот магнитных моментов железа во флоп-фазе к направлению поля происходит против него. Найденные параметры  $\lambda_{fd}^R$  и  $\lambda_1$  позволяют рассчитать кривые  $M_{c,\perp c}(B)$  при  $T \leq 4.2$  К. Таким образом, было найдено несколько наборов параметров кристаллического поля, которые позволяют наиболее удачно описать экспериментальные кривые восприимчивости  $\chi_{c,\perp c}(T)$  в парамагнитной области температур и кривые намагниченности  $M_{c,\perp c}(B)$ .

Следующим важным критерием окончательного выбора параметров  $B_q^k$  является описание тем-

пературы спонтанного спин-переориентационного перехода  $T_{SR} \approx 12.5$  К ( $x = 0.15$ ) и  $T_{SR} \approx 24$  К ( $x = 0.25$ ). Расчеты показали, что данный критерий накладывает существенные ограничения на значения параметров кристаллического поля. Спин-переориентационный переход между легкоосным и легкоплоскостным состояниями  $\text{Nd}_{1-x}\text{Dy}_x\text{Fe}_3(\text{BO}_3)_4$  ( $x = 0.15, 0.25$ ) обусловлен конкуренцией вкладов железной и редкоземельной подсистем в полную магнитную анизотропию кристалла. Магнитная анизотропия железной и неодимовой подсистем стабилизирует легкоплоскостную магнитную структуру [2, 9]. Вклад в полную анизотропию от диспрозиевой подсистемы имеет противоположный знак и стабилизирует легкоосную структуру [10]. Близкие значения различных вкладов в полную анизотропию  $\text{Nd}_{1-x}\text{Dy}_x\text{Fe}_3(\text{BO}_3)_4$  ( $x = 0.15, 0.25$ ) и их различные температурные зависимости приводят к спонтанному спин-переориентационному переходу.

Таким образом, руководствуясь перечисленными критериями описания кривых  $\chi_{c,\perp c}(B)$ ,  $M_c(B)$  и величины  $T_{SR}$ , из всех найденных на начальном этапе параметров кристаллического поля были выбраны наборы, которые позволяют наиболее хорошо описать экспериментальные данные для  $\text{Nd}_{1-x}\text{Dy}_x\text{Fe}_3(\text{BO}_3)_4$  ( $x = 0.15, 0.25$ )

$$\left( B_q^k [\text{см}^{-1}] = \frac{\text{Nd}[\text{Dy}](x = 0.15)}{\text{Nd}[\text{Dy}](x = 0.25)} \right).$$

$$\begin{aligned} B_0^2 &= \frac{597[626]}{527[611]}, & B_0^4 &= \frac{-1361[-1300]}{-1361[-1250]}, \\ B_3^4 &= \frac{750[-523]}{750[-623]}, & B_0^6 &= \frac{585[696]}{585[696]}, \\ B_3^6 &= \frac{140[-60]}{140[-60]}, & B_6^6 &= \frac{408[-283]}{420[-283]}. \end{aligned} \quad (11)$$

Эти параметры были определены при расчетах на базисе основного мультиплета, поэтому они могут рассматриваться только как эффективные, пригодные для описания термодинамических свойств соединения. Отметим небольшое различие параметров  $B_q^k$  для составов с  $x = 0.15$  и  $x = 0.25$ .

Набору параметров (11) соответствуют приведенные в табл. 1 значения энергий восьми нижних уровней основного мультиплета ионов  $\text{Nd}^{3+}$  и  $\text{Dy}^{3+}$  в  $\text{Nd}_{0.75}\text{Dy}_{0.25}\text{Fe}_3(\text{BO}_3)_4$  при  $B = 0$ . Приведены значения энергий при  $T > T_N$ , с учетом  $f-d$ -взаимодействия для  $T = 25$  К  $> T_{SR}$  (легкоплоскостное состояние) и  $T = 2, 23$  К  $< T_{SR}$  (легкоосное состояние). Поскольку параметры (11) для составов с  $x = 0.15, 0.25$  мало различаются, величины расщеплений  $\Delta$  для  $\text{Nd}_{0.85}\text{Dy}_{0.15}\text{Fe}_3(\text{BO}_3)_4$  аналогичны. В табл. 1

видно, как учет  $f-d$ -взаимодействия при  $T < T_N$  приводит к снятию вырождения, затем с уменьшением температуры происходит увеличение расщепления и при  $T_{SR}$  относительное смещение энергетических уровней, причем в случае Dy смещение энергетических уровней приводит к увеличению расщепления (с  $\Delta = 0.9$  см $^{-1}$  до 16.1 см $^{-1}$ ), а для Nd к сужению энергетических уровней (с  $\Delta = 11.6$  см $^{-1}$  до 7.3 см $^{-1}$ ).

Расщепление основного мультиплета ионов  $\text{Nd}^{3+}$  и  $\text{Dy}^{3+}$  в  $\text{Nd}_{1-x}\text{Dy}_x\text{Fe}_3(\text{BO}_3)_4$  определяется совместным действием кристаллического поля, внешнего магнитного поля  $\mathbf{B}$  и взаимодействием с железной подсистемой. Положение энергетических уровней зависит от взаимной ориентации обменных и внешних полей, действующих на редкоземельный ион, а также от их ориентации относительно основных кристаллографических направлений. Расчеты показывают, что магнитная структура  $\text{Nd}_{1-x}\text{Dy}_x\text{Fe}_3(\text{BO}_3)_4$  ( $x = 0.15, 0.25$ ) при  $T \approx T_{SR}$  является неустойчивой и оказывается возможна перестройка магнитной структуры между легкоосным и легкоплоскостным состояниями. Таким образом, ситуация в  $\text{Nd}_{1-x}\text{Dy}_x\text{Fe}_3(\text{BO}_3)_4$  ( $x = 0.15, 0.25$ ) похожа на ту, с которой имели дело в случае  $\text{HoFe}_3(\text{BO}_3)_4$  [20]. Понизить энергию системы можно за счет изменения магнитной структуры Fe-подсистемы, т. е. за счет смены ориентаций её магнитных моментов от легкоплоскостного к легкоосному состоянию. Энергия анизотропии железной и неодимовой подсистем препятствует такому изменению магнитной структуры, так как они стабилизируют легкоплоскостное состояние. С понижением температуры возможный выигрыш по энергии за счет перехода от легкоплоскостной к легкоосной структуре возрастает, и при  $T_{SR}$  путем фазового перехода первого рода система переходит в легкоосное состояние. В легкоосной фазе энергетические уровни основного мультиплета иона  $\text{Dy}^{3+}$  максимально расщеплены ( $\Delta = 17.8$  см $^{-1}$ ). Для иона  $\text{Nd}^{3+}$  (вклад в полную анизотропию от которого стабилизирует легкоплоскостное состояние) расщепление не максимальное, но возрастает (с  $\Delta = 7.3$  см $^{-1}$  до 8.2 см $^{-1}$ ). Происходит перераспределение населенностей энергетических уровней основного мультиплета ионов  $\text{Nd}^{3+}$  и  $\text{Dy}^{3+}$ . Это явление, по сути, представляет собой магнитный аналог эффекта Яна–Теллера в редкоземельных соединениях (например, в  $\text{RVO}_4$  со структурой циркона), когда при низких температурах за счет деформации кристалла происходит аналогичное перераспределение населенностей энергетических уровней при изменении расщепле-

**Таблица 1.** Значения энергий восьми нижних уровней основного мультиплета ионов  $\text{Nd}^{3+}$  и  $\text{Dy}^{3+}$  в  $\text{Nd}_{0.75}\text{Dy}_{0.25}\text{Fe}_3(\text{BO}_3)_4$ , расщепленных кристаллическим полем (параметры (11)) и с учетом  $f$ - $d$ -взаимодействия при  $B = 0$  в парамагнитной и упорядоченной областях температур

R	T	$\Delta = E_i - E_1$ ( $i = 1-8$ ), см $^{-1}$
Nd	$T > T_N$	0, 0, 79.2, 79.2, 165.8, 165.8, 261, 261
	$25 \text{ K} > T_{SR}$	0, 11.6, 85.8, 85.9, 167, 176.6, 267, 267
	$23 \text{ K} < T_{SR}$	0, 7.3, 73.5, 92.5, 163.8, 177.1, 256, 274
	$2 \text{ K} < T_{SR}$	0, 8.2, 72.9, 94, 163.7, 178.5, 256, 276
Dy	$T > T_N$	0, 0, 21.9, 21.9, 108.6, 108.6, 207, 207
	$25 \text{ K} > T_{SR}$	0, 0.9, 22.8, 23.7, 109.7, 109.7, 208, 208
	$23 \text{ K} < T_{SR}$	0, 16.1, 23.3, 36.9, 110.7, 122.8, 206, 224
	$2 \text{ K} < T_{SR}$	0, 17.8, 23.6, 38.5, 111, 124.3, 206, 226

ния основного мультиплета, также сопровождаемое аномалиями магнитной восприимчивости (см., например, [22]).

Далее с выбранными параметрами  $B_q^k$  (11) были рассчитаны кривые намагничивания  $M_{c,\perp c}(B)$  в полях до 9 Тл при температурах, соответствующих экспериментальным, от 2 до 50 К, температурные зависимости начальной магнитной восприимчивости  $\chi_{c,\perp c}(T)$  от 2 до 300 К, а также вклад R-подсистемы в теплоемкость  $\text{Nd}_{1-x}\text{Dy}_x\text{Fe}_3(\text{BO}_3)_4$  ( $x = 0, 0.25, 1$ ). Сравнение с экспериментальными данными позволило уточнить параметры  $\text{Nd}_{1-x}\text{Dy}_x\text{Fe}_3(\text{BO}_3)_4$  ( $x = 0.15, 0.25$ ) и для единого набора параметров для каждого из составов удалось получить согласие теории и эксперимента для всей совокупности измеренных характеристик.

Отметим, что рентгенофлюоресцентный анализ на содержание элементов проводился только для состава  $x = 0.25$ . В растворе-расплаве задавалось соотношение  $x = 0.25$ . Анализ показал содержание Dy в  $\text{Nd}_{0.75}\text{Dy}_{0.25}\text{Fe}_3(\text{BO}_3)_4$  равным  $x = 0.26 \pm 0.01$ . Таким образом, расхождение заданного и полученного значений параметра  $x$  в  $\text{Nd}_{0.75}\text{Dy}_{0.25}\text{Fe}_3(\text{BO}_3)_4$  составляет менее 5 %. Расчеты показали наилучшее совпадение с экспериментом при  $x_{calc} = 0.17$  и  $x_{calc} = 0.266$  соответственно для составов  $x = 0.15$  и  $x = 0.25$ .

Представленные далее на рисунках теоретические магнитные характеристики рассчитаны для параметров, приведенных в табл. 2, в которой также для сравнения показаны параметры чистых ферроборатов  $\text{NdFe}_3(\text{BO}_3)_4$  из работы [9] и  $\text{DyFe}_3(\text{BO}_3)_4$  из работы [10]. Приведенный в табл. 2 параметр  $\lambda_2$ , входящий в функцию Бриллюэна, соответствен за ве-

личину магнитного момента железа при данных температуре и поле и определяет температуру Нееля, поскольку трехмерный порядок в структуре ферробората невозможен без обменного взаимодействия между цепочками ионов  $\text{Fe}^{3+}$ . Значение параметра  $\lambda_2$  было выбрано из условия наилучшего согласия экспериментальных и рассчитанных кривых намагничивания  $M_{c,\perp c}(B)$  для всех температур. Также в расчетах участвуют одноосная константа анизотропии железа  $K_2 = 0.48 \text{ Тл} \cdot \mu_B$  (при  $T = 2 \text{ K}$ ) и константа анизотропии железа в базисной плоскости  $K_6 = -1.35 \cdot 10^{-2} \text{ Тл} \cdot \mu_B$ .

В табл. 2 видно отличие молекулярной константы  $\lambda_{fd}^{\text{Nd}}$  для  $\text{Nd}_{1-x}\text{Dy}_x\text{Fe}_3(\text{BO}_3)_4$  ( $x = 0.15, 0.25$ ) и  $\text{NdFe}_3(\text{BO}_3)_4$ , которое можно объяснить различием низкотемпературного магнитного состояния — легкоплоскостное в  $\text{NdFe}_3(\text{BO}_3)_4$  и легкоосное в  $\text{Nd}_{1-x}\text{Dy}_x\text{Fe}_3(\text{BO}_3)_4$  ( $x = 0.15, 0.25$ ). Отметим также, что для близкого к  $\text{NdFe}_3(\text{BO}_3)_4$  по значению радиуса R-иона легкоосного  $\text{PrFe}_3(\text{BO}_3)_4$  значение параметра  $\lambda_{fd}^{\text{Nd}} = -0.73 \text{ Тл}/\mu_B$  [17], что согласуется с найденным значением  $\lambda_{fd}^{\text{Nd}} = -0.77 \text{ Тл}/\mu_B$  (см. табл. 2).

Для расчета магнитных характеристик  $\text{Nd}_{1-x}\text{Dy}_x\text{Fe}_3(\text{BO}_3)_4$  ( $x = 0.15, 0.25$ ) при направлении внешнего магнитного поля вдоль и перпендикулярно тригональной оси с учетом возможного легкоосного и легкоплоскостного состояний магнитной подсистемы соединений использовались изображенные на рис. 1 схемы ориентаций магнитных моментов железа  $\mathbf{M}_i^{\text{Fe}}$  и редкой земли  $\mathbf{m}_i^{\text{R}}$ . Расчет по схемам  $a, b, c$  проводился для направления поля вдоль тригональной оси  $\mathbf{B} \parallel \mathbf{c}$ . Схемы  $g, d$  использовались для случая ориентации

**Таблица 2.** Параметры исследованных ферроборатов  $\text{Nd}_{1-x}\text{Dy}_x\text{Fe}_3(\text{BO}_3)_4$  ( $x = 0.15, 0.25$ ), а также  $\text{NdFe}_3(\text{BO}_3)_4$  и  $\text{DyFe}_3(\text{BO}_3)_4$  из работ [9, 10]

Соединение	$\text{NdFe}_3(\text{BO}_3)_4$	$\text{Nd}_{0.85}\text{Dy}_{0.15}\text{Fe}_3(\text{BO}_3)_4$	$\text{Nd}_{0.75}\text{Dy}_{0.25}\text{Fe}_3(\text{BO}_3)_4$	$\text{DyFe}_3(\text{BO}_3)_4$
$B_{dd1} = \lambda_1 M_0$ , Тл	58	54	54	53
$\lambda_1$ , Тл/ $\mu_B$	-3.87	-3.6	-3.6	-3.53
$B_{dd2} = \lambda_2 M_0$ , Тл	27	30	28.5	28
$\lambda_2$ , Тл/ $\mu_B$	-1.8	-2	-1.9	-1.87
$B_{fd} = \lambda_{fd}^R M_0$ , Тл	7.1	11.5 (Nd) 2 (Dy)	11.5 (Nd) 2.3 (Dy)	3.3
$\lambda_{fd}^R$ , Тл/ $\mu_B$	-0.47	-0.77 (Nd) -0.13 (Dy)	-0.77 (Nd) -0.15 (Dy)	-0.22
$\Delta_{fd} = \mu_B g  \lambda_{fd}  M_0$ , $\text{см}^{-1}$	8.8 (ЛП)	$\sim 8$ (ЛО) $\left. \begin{array}{l} \\ \end{array} \right\} \text{Nd}$ $\sim 13$ (ЛП) $\left. \begin{array}{l} \\ \end{array} \right\} \text{Nd}$ $\sim 15.7$ (ЛО) $\left. \begin{array}{l} \\ \end{array} \right\} \text{Dy}$ $\sim 0.8$ (ЛП) $\left. \begin{array}{l} \\ \end{array} \right\} \text{Dy}$	$\sim 8.2$ (ЛО) $\left. \begin{array}{l} \\ \end{array} \right\} \text{Nd}$ $\sim 11.6$ (ЛП) $\left. \begin{array}{l} \\ \end{array} \right\} \text{Nd}$ $\sim 17.8$ (ЛО) $\left. \begin{array}{l} \\ \end{array} \right\} \text{Dy}$ $\sim 0.9$ (ЛП) $\left. \begin{array}{l} \\ \end{array} \right\} \text{Dy}$	$\sim 19$ (ЛО)
$\Theta$ , К	-130	-132	-135	-180

*Примечание.*  $B_{dd1}$  (внутрицепочечное Fe–Fe),  $B_{dd2}$  (межцепочечное Fe–Fe),  $B_{fd}$  — низкотемпературные значения обменных полей, соответствующих молекулярным константам  $\lambda_1$ ,  $\lambda_2$ ,  $\lambda_{fd}^R$ ;  $\Delta_{fa}$  — низкотемпературное расщепление основного состояния редкоземельного иона вследствие  $f$ – $d$ -взаимодействия в легкоосновном (ЛО) и легкоплоскостном (ЛП) состояниях;  $\Theta$  — парамагнитная температура Нееля для Fe-подсистемы;  $M_0 = |M_i(T = 0, B = 0)| = 15\mu_B$  — магнитный момент железа в расчете на одну формульную единицу.

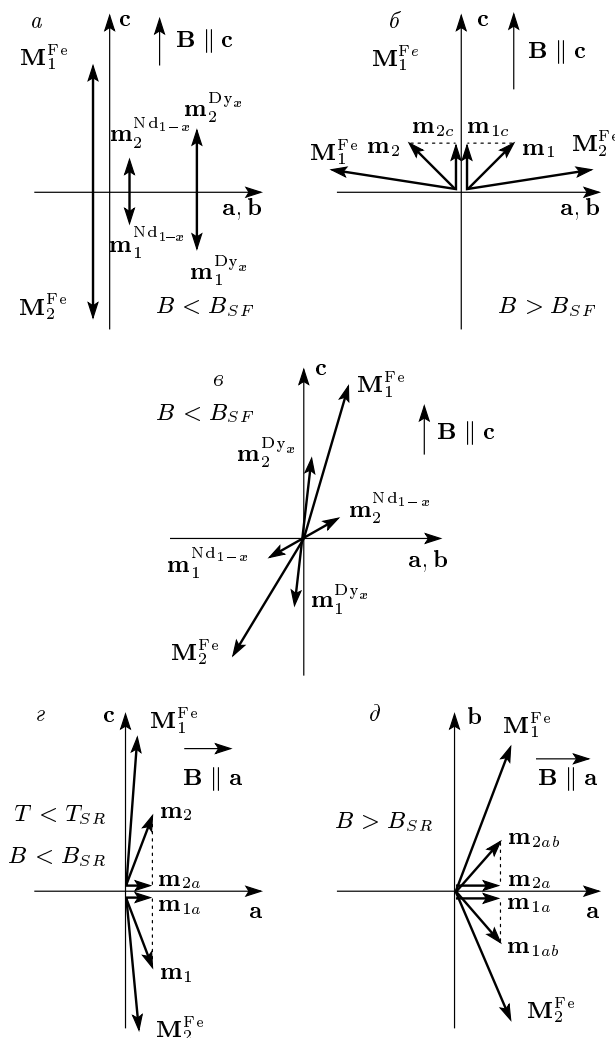
внешнего поля в базисной плоскости  $\mathbf{B} \perp \mathbf{c}$ . Показаны направления результирующих магнитных моментов R-подсистемы  $\mathbf{m}_1 = (1 - x)\mathbf{m}_1^{\text{Nd}} + x\mathbf{m}_1^{\text{Dy}}$  и  $\mathbf{m}_2 = (1 - x)\mathbf{m}_2^{\text{Nd}} + x\mathbf{m}_2^{\text{Dy}}$ , а также их проекции ( $\mathbf{m}_{ic}$  и  $\mathbf{m}_{ia}$ ) вдоль направления поля.

Из представленных на рис. 2 для  $\text{Nd}_{0.85}\text{Dy}_{0.15}\text{Fe}_3(\text{BO}_3)_4$  и на рис. 3 для  $\text{Nd}_{0.75}\text{Dy}_{0.25}\text{Fe}_3(\text{BO}_3)_4$  экспериментальных кривых намагничивания  $M_c(B)$  видно, что при  $T = 2$  К имеет место небольшой скачок на кривой  $M_c(B)$  в поле  $B \approx 1.1$  Тл ( $x = 0.15$ ) и в поле  $B \approx 1.46$  Тл ( $x = 0.25$ ), а затем следует более выраженный второй скачок намагниченности при  $B \approx 1.26$  Тл ( $x = 0.15$ ) и  $B \approx 1.66$  Тл ( $x = 0.25$ ). Подобный ступенчатый вид возрастания с полем кривых  $M_c(B)$  обнаружен также и для других температур, причем с возрастанием температуры первый скачок становится практически невидимым при  $T \approx 10$  К ( $x = 0.15$ ) и  $T \approx 16$  К ( $x = 0.25$ ), а второй скачок различим до  $T \approx 13$  К ( $x = 0.15$ ) и  $T \approx 23$  К ( $x = 0.25$ ). Кривые  $M_c(B)$  для  $T \geq 14$  К ( $x = 0.15$ ) и  $T \geq 24$  К ( $x = 0.25$ ) монотонно возрастают. От-

метим, что видимая небольшая аномалия в малом поле  $B \approx 0.9$  Тл для  $x = 0.15$  отсутствует в малых полях на кривых  $M_c(B)$  для  $x = 0.25$ .

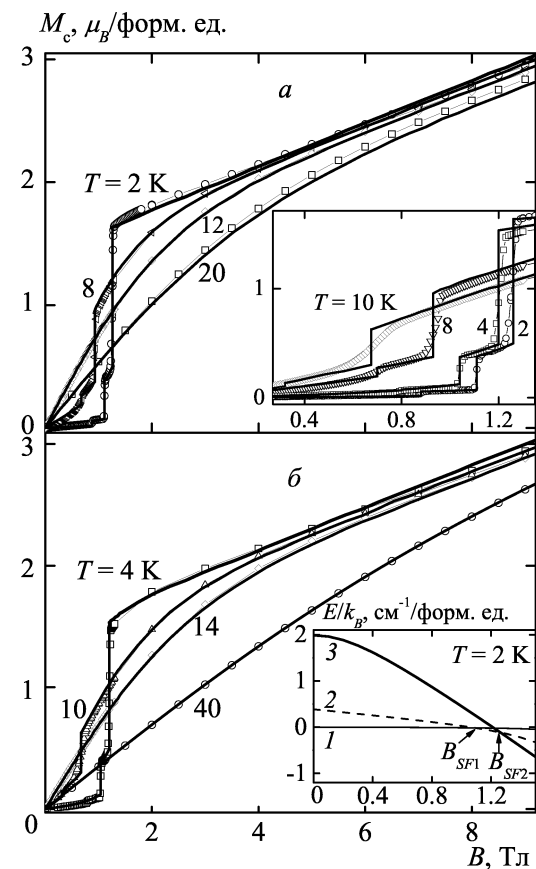
Анализ полученных экспериментальных данных, результаты работ [4, 5, 7] и выполненные нами расчеты показывают, что в  $\text{Nd}_{1-x}\text{Dy}_x\text{Fe}_3(\text{BO}_3)_4$  ( $x = 0.15, 0.25$ ) при низких температурах и  $B = 0$  магнитные моменты Nd<sub>1-x</sub>-, Dy<sub>x</sub>- и Fe-подсистем имеют ориентацию вдоль тригональной оси  $c$  (коллинеарная фаза, схема *a* на рис. 1). Наблюдаемый на рис. 2, 3 резкий скачок намагниченности на кривых  $M_c(B)$  обусловлен спин-флоп-переходом в железной подсистеме от исходной коллинеарной фазы (схема *a* на рис. 1) во флоп-фазу (схема *b* на рис. 1) и сопровождается переориентацией магнитных моментов обеих подрешеток ионов Nd<sup>3+</sup> и Dy<sup>3+</sup> вдоль направления поля  $\mathbf{B} \parallel \mathbf{c}$ .

Проведенные обширные расчеты магнитных фаз, которые могут быть реализованы в  $\text{Nd}_{1-x}\text{Dy}_x\text{Fe}_3(\text{BO}_3)_4$  ( $x = 0.15, 0.25$ ) при различных ориентациях магнитных моментов железной, неодимовой и диспрозиевой подсистем, позволили



**Рис. 1.** Схемы ориентаций магнитных моментов железа  $M_i^{\text{Fe}}$  и редкой земли  $m_i^R$ , использованные при расчете магнитных характеристик  $\text{Nd}_{1-x}\text{Dy}_x\text{Fe}_3(\text{BO}_3)_4$  ( $x = 0.15, 0.25$ ) для разных температурных диапазонов и направлений внешнего магнитного поля;  $\mathbf{m}_{ic}$  и  $\mathbf{m}_{ia}$  — проекции магнитных моментов R-подсистемы вдоль направления поля. Схемы  $a, b, c$  — при  $\mathbf{B} \parallel \mathbf{c}$  (плоскость  $ab$  перпендикулярна плоскости рисунка). Схемы при  $\mathbf{B} \parallel \mathbf{a}$ :  $e$  — плоскость  $ab$  и ось  $b$  перпендикулярны плоскости рисунка,  $d$  — ось  $c$  перпендикулярна плоскости рисунка

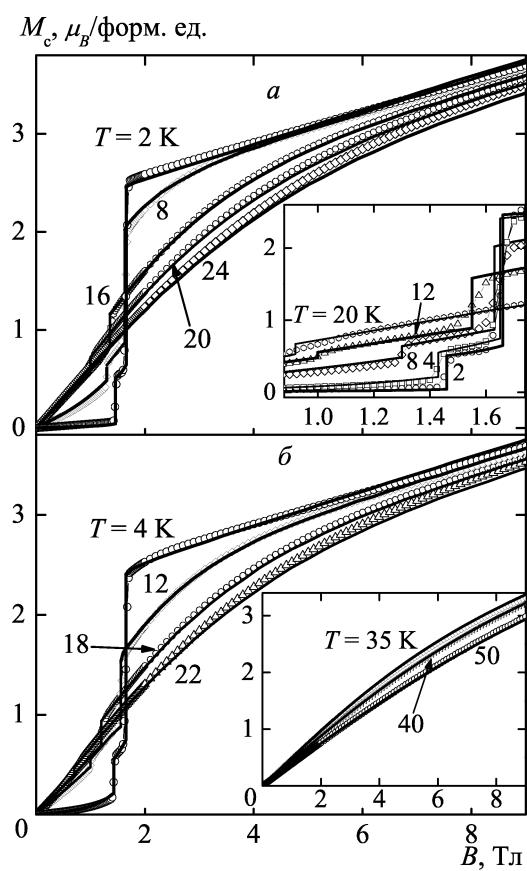
сделать предположение, что наблюдаемый на рис. 2, 3 двухступенчатый вид скачка намагниченности, возможно, обусловлен наличием промежуточного состояния между коллинеарной и флоп-фазами. Первый небольшой скачок на кривых  $M_c(B)$  может быть связан с отклонением магнитных моментов железа от оси  $c$  на угол порядка  $30^\circ$  и реализацией слабонеколлинеарной антиферромагнитной



**Рис. 2.** Кривые намагничивания  $\text{Nd}_{0.85}\text{Dy}_{0.15}\text{Fe}_3(\text{BO}_3)_4$  для  $\mathbf{B} \parallel \mathbf{c}$  при указанных температурах. Точки — экспериментальные данные, линии — расчет. Вставка на рис.  $a$  — рассчитанные и экспериментальные кривые намагничивания для разных температур в полях до 1.5 Тл. Вставка на рис.  $b$  — полевая зависимость энергий  $\text{Nd}_{0.85}\text{Dy}_{0.15}\text{Fe}_3(\text{BO}_3)_4$  в легкоосном (кривая 1), промежуточном (кривая 2) и легкоплоскостном (кривая 3) состояниях при  $T = 2$  К и  $\mathbf{B} \parallel \mathbf{c}$

фазы (схема  $e$  на рис. 1). Второй, более ярко выраженный, скачок обусловлен переориентацией магнитных моментов Fe-подсистемы из промежуточного состояния (схема  $e$  на рис. 1) во флоп-фазу (схема  $b$  на рис. 1) и сопровождается переориентацией вдоль направления поля  $\mathbf{B} \parallel \mathbf{c}$  магнитных моментов обеих подрешеток ионов  $\text{Nd}^{3+}$  и  $\text{Dy}^{3+}$ .

Причиной реализации возможного промежуточного состояния со слабонеколлинеарной антиферромагнитной структурой (схема  $e$  на рис. 1) является конкуренция вкладов от железной и редкоземельной подсистем в полную магнитную анизот-



**Рис. 3.** Кривые намагничивания  $\text{Nd}_{0.75}\text{Dy}_{0.25}\text{Fe}_3(\text{BO}_3)_4$  для  $\mathbf{B} \parallel \mathbf{c}$  при указанных температурах. Значки — экспериментальные данные, линии — расчет. На вставках — рассчитанные и экспериментальные кривые намагничивания для разных температур в полях до 1.9 Тл (вставка на рис. а) и для  $T > T_N$  (вставка на рис. б)

тропию  $\text{Nd}_{1-x}\text{Dy}_x\text{Fe}_3(\text{BO}_3)_4$ . Магнитная анизотропия железной и неодимовой подсистем стабилизирует легкоплоскостную магнитную структуру, а вклад в полную анизотропию от диспрозиевой подсистемы стабилизирует легкоосную структуру. В результате, при определенных значениях температуры и поля, магнитные моменты железа могут быть ориентированы под углом к оси  $c$ , величина которого, как показывают расчеты, разная для соединений с  $x = 0.15$  и  $x = 0.25$ . Отметим, что ранее в работе [23] при исследовании также проявляющегося спин-переориентационный переход  $\text{GdFe}_3(\text{BO}_3)_4$  был сделан вывод об отклонении магнитных моментов железа от оси  $c$  в легкоосной фазе на большие величины углов, меняющихся при разных темпера-

турах и значениях магнитного поля (см. рис. 6 в работе [23]).

Расчет по схеме  $\mathcal{B}$  на рис. 1 позволяет также объяснить наличие на экспериментальных кривых  $M_c(B)$   $\text{Nd}_{0.85}\text{Dy}_{0.15}\text{Fe}_3(\text{BO}_3)_4$  при  $T = 2, 4$  К и третьей небольшой аномалии в поле  $B \approx 0.9$  Тл, предположив реализацию в данном поле слабонеколлинеарной антиферромагнитной структуры со значительно меньшим значением угла отклонения магнитных моментов железа от оси  $c$ , чем при  $B \approx 1.1$  Тл. Отсутствие низкополевой третьей аномалии на кривых  $M_c(B)$  для  $x = 0.25$ , по-видимому, связано с возросшим вкладом от Dy-подсистемы, стабилизующим начальное состояние до больших полей.

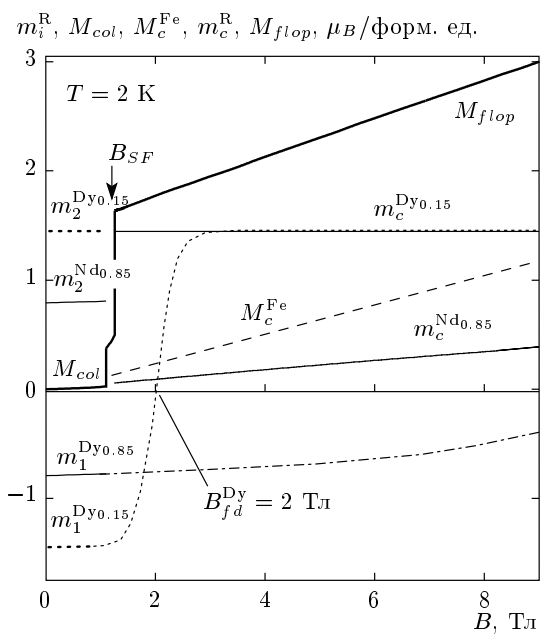
На вставке к рис. 2б показана полевая зависимость энергий  $\text{Nd}_{0.85}\text{Dy}_{0.15}\text{Fe}_3(\text{BO}_3)_4$  при  $T = 2$  К в легкоосном состоянии (кривая 1), промежуточном состоянии, для которого магнитные моменты Fe-подсистемы отклонены от оси  $c$  (кривая 2), и легкоплоскостном состоянии (кривая 3). Расчеты показывают, что для  $B = 0$  и в полях до 1.1 Тл наиболее выгодным состоянием магнитной подсистемы  $\text{Nd}_{0.85}\text{Dy}_{0.15}\text{Fe}_3(\text{BO}_3)_4$  является легкоосное состояние (кривая 1, схема  $\mathcal{A}$  на рис. 1). Затем при  $B_{SF1} \approx 1.1$  Тл более выгодным становится промежуточное состояние (кривая 2, схема  $\mathcal{B}$  на рис. 1) и слабонеколлинеарная антиферромагнитная структура дает вклад в первый скачок на  $M_c(B)$ . При  $B_{SF2} \approx 1.26$  Тл наступает флоп-фаза (кривая 3, схема  $\mathcal{B}$  на рис. 1), в которой магнитные моменты неодимовой  $\mathbf{m}_1^{\text{Nd}}$  и диспрозиевой  $\mathbf{m}_1^{\text{Dy}}$  подсистем переориентируются вдоль поля, что дает наиболее заметный на кривой  $M_c(B)$  вклад во второй скачок намагниченности. Во флоп-фазе магнитные моменты железных подрешеток  $\mathbf{M}_1^{\text{Fe}}$  и  $\mathbf{M}_2^{\text{Fe}}$ гибаются к направлению поля  $\mathbf{B} \parallel \mathbf{c}$ , выходя из плоскости  $ab$ .

Из вставок на рис. 2а и рис. 3а хорошо видно, что значение поля спин-флоп-перехода  $B_{SF}$  падает с ростом температуры, т. е. с ростом температуры исходная коллинеарная фаза оказывается менее устойчивой, несмотря на возрастающую параллельную восприимчивость Fe-подсистемы. Данная зависимость  $B_{SF}(T)$  отличается от имеющихся в  $\text{RFe}_3(\text{BO}_3)_4$  с  $\text{R} = \text{Pr}$  [17],  $\text{Nd}$  [9],  $\text{Tb}$  [14],  $\text{Dy}$  [10], в которых поле спин-флоп-перехода с ростом температуры росло, как это чаще всего и бывает для одноосных антиферромагнетиков. Подобное поведение зависимости  $B_{SF}(T)$  было обнаружено для  $\text{HoFe}_3(\text{BO}_3)_4$  [24, 25, 20] и обусловлено возрастающей близостью температур, при которых измерены кривые  $M_c(B)$ , к температуре спонтанного спин-переориентационного перехода  $T_{SR} \approx 12.5$  К

(для  $x = 0.15$ ) и  $T_{SR} \approx 24$  К (для  $x = 0.25$ ). При увеличении температуры происходит уменьшение суммарной эффективной константы анизотропии соединения от железной и редкоземельной подсистем.

В расчетах поля спин-флоп-перехода для каждой температуры определялись из равенства термодинамических потенциалов соответствующих магнитных фаз. Отметим, что кривые намагничивания  $M_c(B)$  на рис. 2, 3 рассчитаны для разных значений параметра внутрицепочечного обменного Fe–Fe-взаимодействия  $\lambda_1$  в коллинеарной и флоп-фазах. Таким образом, ситуация в  $Nd_{1-x}Dy_xFe_3(BO_3)_4$  ( $x = 0.15, 0.25$ ) похожа на ту, с которой имели дело в случае  $TbFe_3(BO_3)_4$  [13–15] и  $DyFe_3(BO_3)_4$  [10]. В  $TbFe_3(BO_3)_4$  для адекватного описания фазовой  $B$ – $T$ -диаграммы было предположено небольшое (около 1 %) различие в величинах обменного параметра  $\lambda_1$  в коллинеарной и флоп-фазах, которое могло быть следствием магнитоупругих эффектов, сопровождающих этот индуцированный магнитным полем фазовый переход первого рода [13–15]. Дальнейшие расчеты магнитоупругих эффектов в редкоземельных ферроборатах [17, 26, 27] показали наличие весьма существенных скачков мультипольных моментов изинговского иона  $Tb^{3+}$  в структуре ферробората при спин-флоп-переходе, которые могут приводить к значительным скачкам магнитострикции при этом переходе и соответственно изменению величины обменного параметра. Ситуация с  $DyFe_3(BO_3)_4$  [10] отличается от ситуации с  $TbFe_3(BO_3)_4$  тем, что скачки мультипольных моментов [16] анизотропного, но не изинговского, иона  $Dy^{3+}$  при спин-флоп-переходе меньше, чем у иона  $Tb^{3+}$ , и поэтому изменение обменного параметра оказалось меньшим (около 0.1 %) [10]. Для  $Nd_{0.75}Dy_{0.25}Fe_3(BO_3)_4$  в работе [4] были обнаружены резкие скачки магнитострикции при спин-флоп-переходе для  $B \parallel c$ . Расчеты показали, что для  $Nd_{1-x}Dy_xFe_3(BO_3)_4$  ( $x = 0.15, 0.25$ ) различие в величинах обменного параметра  $\lambda_1$  в коллинеарной и флоп-фазах составило около 1.2 % и позволило получить хорошее согласие экспериментальной и рассчитанной фазовых  $B$ – $T$ -диаграмм.

Отметим отличающийся характер аномалий при спин-флоп-переходе на представленных в данной работе экспериментальных кривых намагничивания  $M_c(B)$   $Nd_{0.75}Dy_{0.25}Fe_3(BO_3)_4$  и приведенных в работе [4], на которых видна только одна аномалия. Кристаллы  $Nd_{0.75}Dy_{0.25}Fe_3(BO_3)_4$ , на которых проведены измерения в данной работе и в работах [4, 5], были из одного ростового эксперимента. Поскольку



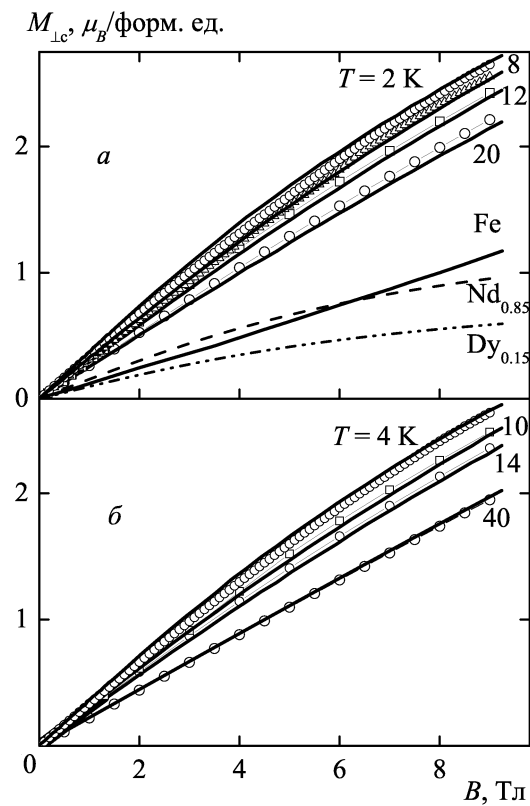
**Рис. 4.** Рассчитанные полевые зависимости компонент вдоль оси с магнитных моментов R- и Fe-подсистем  $Nd_{0.85}Dy_{0.15}Fe_3(BO_3)_4$  в коллинеарной и флоп-фазах при  $T = 2$  К для  $B \parallel c$ . Коллинеарная фаза ( $B < B_{SF}$ ):  $m_1^R$  (магнитный момент против поля) и  $m_2^R$  (по полю),  $M_{col}$  — результатирующий магнитный момент в коллинеарной фазе. Флоп-фаза ( $B > B_{SF}$ ): проекции вдоль поля редкоземельной  $m_1^R$  и железной  $M_c^Fe$  подсистем,  $M_{flap}$  — результатирующий магнитный момент во флоп-фазе

в работе [4] наблюдался широкий гистерезис на кривых  $M_c(B)$  при спин-флоп-переходе, одной из возможных причин различия в экспериментальных результатах может быть существенная величина магнитокалорического эффекта и релаксационных процессов, которые имеют место в магнитной системе, перемагничиваемой импульсным полем с большой скоростью ввода и вывода поля. Появление в кристаллах  $Nd_{1-x}Dy_xFe_3(BO_3)_4$  ( $x = 0.15, 0.25$ ) магнитной неоднородности, обусловленной образованием в процессе роста областей с преобладанием ионов  $Dy^{3+}$  или  $Nd^{3+}$ , по технологическим причинам маловероятно. Магнитные измерения, выполненные на образцах одного состава, но из разных ростовых экспериментов, дают совпадающие результаты. Концентрационная неоднородность, а именно различие в содержании ионов  $Nd^{3+}$  и  $Dy^{3+}$  в составе пирамид роста различных граней кристалла, не измерялась. В изготовленных образцах с большой вероятностью содержатся области, принадлежащие разным пирамидам роста.

На рис. 4 показаны полевые зависимости компонент магнитных моментов редкоземельной и железной подсистем  $\text{Nd}_{0.85}\text{Dy}_{0.15}\text{Fe}_3(\text{BO}_3)_4$  вдоль оси  $c$  при  $T = 2$  К для  $\mathbf{B} \parallel \mathbf{c}$ . Приведены следующие кривые: для подрешетки  $\mathbf{m}_1^R$  (магнитный момент против поля) и подрешетки  $\mathbf{m}_2^R$  (по полю) показан результатирующий магнитный момент в коллинеарной фазе  $M_{col} = m_2^R - m_1^R$  (при  $T = 2$  К и  $\mathbf{B} \parallel \mathbf{c}$  подсистема железа вклада в намагниченность не дает) и результатирующий магнитный момент во флок-фазе  $M_{flop} = M_c^{\text{Fe}} + (1 - x)m_c^{\text{Nd}} + xm_c^{\text{Dy}}$ .

На рис. 4 хорошо видно различие значений  $M_{col}$  и  $M_{flop}$  в поле  $B_{SF}$ , которое в основном обусловлено вкладом R-подсистемы (наибольший вклад от  $\text{Dy}_{0.15}$ ) в величину скачка на кривой  $M_c(B)$  в данном поле. Для  $B = 0$  магнитный момент неодимовой подсистемы  $m_2^{\text{Nd}_{0.85}} = |m_1^{\text{Nd}_{0.85}}| = 0.79\mu_B$  ( $m_2^{\text{Nd}_{0.75}} = |m_1^{\text{Nd}_{0.75}}| = 0.7\mu_B$ ), а диспрозиевой подсистемы  $m_2^{\text{Dy}_{0.15}} = |m_1^{\text{Dy}_{0.15}}| = 1.45\mu_B$  ( $m_2^{\text{Dy}_{0.25}} = |m_1^{\text{Dy}_{0.25}}| = 2.25\mu_B$ ). В поле  $\mathbf{B} \parallel \mathbf{c}$  и  $B = 2$  Тл в неодимовой подсистеме  $m_a^{\text{Nd}_{0.85}} = 1.24\mu_B$  ( $m_a^{\text{Nd}_{0.75}} = 1.1\mu_B$ ) и  $m_c^{\text{Nd}_{0.85}} = 0.091\mu_B$  ( $m_c^{\text{Nd}_{0.75}} = 0.036\mu_B$ ), в диспрозиевой подсистеме  $m_a^{\text{Dy}_{0.15}} = 0.19\mu_B$  ( $m_a^{\text{Dy}_{0.25}} = 0.34\mu_B$ ) и  $m_c^{\text{Dy}_{0.15}} = 1.44\mu_B$  ( $m_c^{\text{Dy}_{0.25}} = 2.23\mu_B$ ). Таким образом, после индуцированного полем  $\mathbf{B} \parallel \mathbf{c}$  спин-флок-перехода магнитные моменты неодимовой подсистемы из-за значительного  $f-d$ -обмена ( $\lambda_{fd}^{\text{Nd}} = -0.77$  Тл/ $\mu_B$ ) практически полностью лежат в плоскости  $ab$  ( $m_a^{\text{Nd}_{1-x}} > m_c^{\text{Nd}_{1-x}}$ ), что и обуславливает небольшой вклад в намагниченность соединения от двух неодимовых подрешеток  $m_c^{\text{Nd}_{1-x}}$ , в частности, в скачок намагниченности на теоретической кривой  $M_c(B)$  при  $B_{SF}$ .

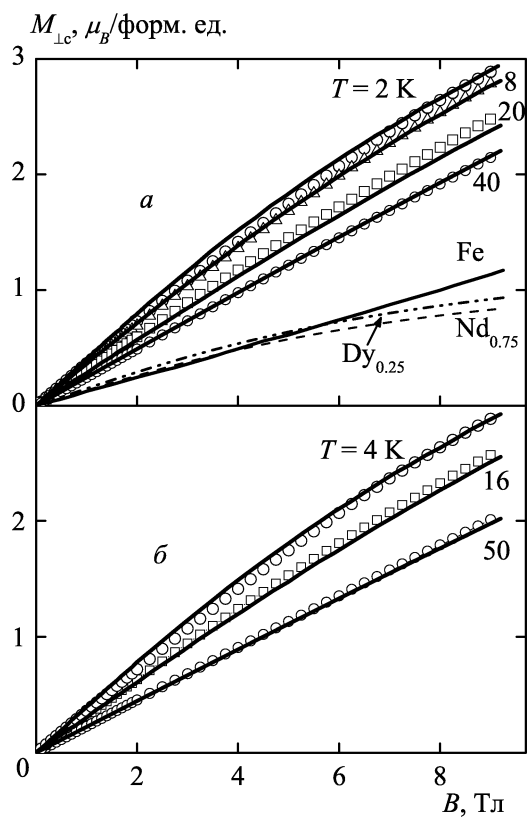
При  $\mathbf{B} \parallel \mathbf{c}$  с ростом поля эффективное поле, действующее на редкоземельную подрешетку с магнитным моментом  $\mathbf{m}_1^R$ , направленным противоположно внешнему полю, уменьшается и этот магнитный момент стремится уменьшиться (см. рис. 4). Именно этот процесс и определяет вид кривых  $M_c(B)$  при  $T = 2$  К и  $T = 4$  К до спин-флок-перехода, поскольку Fe-подсистема при такой низкой температуре в процессе намагничивания практически не участвует из-за весьма малой параллельной восприимчивости ( $T_N \approx 31$  К). Расчеты показывают, что этот процесс связан с уменьшением расщепления между нижними энергетическими уровнями ионов  $\text{Nd}^{3+}$  и  $\text{Dy}^{3+}$ , определяемого параметром  $\lambda_{fd}^R$ , и поэтому этот участок кривой намагничивания чрезвычайно чувствителен к  $\lambda_{fd}^R$ . Из рис. 4 понятно, что с возрастанием поля переориентация магнитных моментов железных подрешеток от оси в плос-



**Рис. 5.** Кривые намагничивания  $\text{Nd}_{0.85}\text{Dy}_{0.15}\text{Fe}_3(\text{BO}_3)_4$  для  $\mathbf{B} \perp \mathbf{c}$  при указанных температурах. Значки — экспериментальные данные, линии — расчет. На рис. *a* показаны рассчитанные вклады в полную намагниченность при  $T = 2$  К от  $\text{Nd}_{0.85}$ ,  $\text{Dy}_{0.15}$  и  $\text{Fe}$  при  $\mathbf{B} \perp \mathbf{c}$

кость происходит раньше, чем магнитный момент  $\mathbf{m}_1^{\text{Nd}_{0.85}}$  (тонкая штриховая кривая) и  $\mathbf{m}_1^{\text{Nd}_{0.15}}$  (тонкая штрихпунктирная кривая) обращаются в нуль. Это дает оценку для величины поля, действующего на R-подсистему со стороны железной (при  $x = 0.15$ ):  $B_{fd}^{\text{Nd}} \gg B_{SF}(T = 2 \text{ К}) \approx 1.1 \text{ Тл}$  и  $B_{fd}^{\text{Dy}} > B_{SF}(T = 2 \text{ К}) \approx 1.26 \text{ Тл}$ . Аналогичные рассмотренным на рис. 4 процессы протекают и для состава  $\text{Nd}_{0.75}\text{Dy}_{0.25}\text{Fe}_3(\text{BO}_3)_4$ .

Для больших полей в базисной плоскости ферробораты  $\text{Nd}_{1-x}\text{Dy}_x\text{Fe}_3(\text{BO}_3)_4$  ( $x = 0.15, 0.25$ ) находятся в угловой фазе и ведут себя как однодоменные, при этом магнитные моменты железа сгибаются к полю  $\mathbf{B} \perp \mathbf{c}$ , проявляя перпендикуляр-



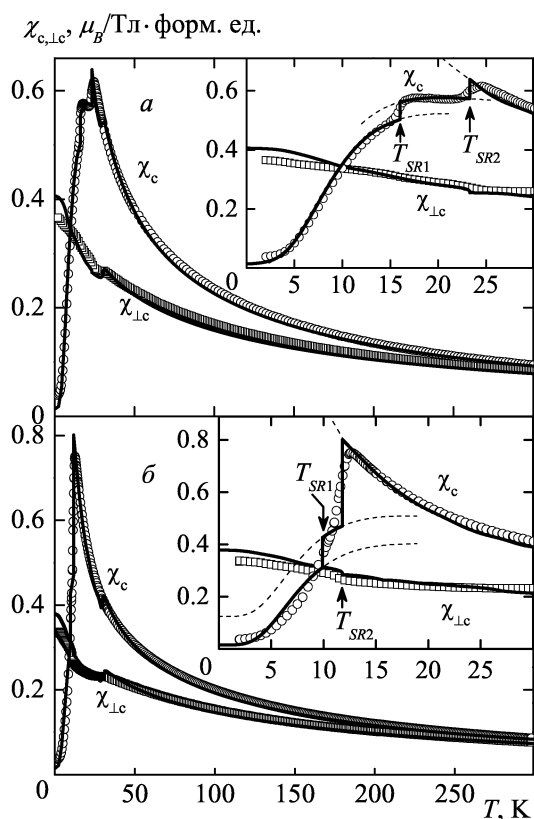
**Рис. 6.** Кривые намагничивания  $\text{Nd}_{0.75}\text{Dy}_{0.25}\text{Fe}_3(\text{BO}_3)_4$  для  $\mathbf{B} \perp \mathbf{c}$  при указанных температурах. Значки — экспериментальные данные, линии — расчет. На рис. *a* показаны рассчитанные вклады в полную намагниченность при  $T = 2 \text{ К}$  от  $\text{Nd}_{0.75}$ ,  $\text{Dy}_{0.25}$  и  $\text{Fe}$  при  $\mathbf{B} \perp \mathbf{c}$

ную восприимчивость, которая для типичного антиферромагнетика от температуры не зависит, а у R-подсистемы растут компоненты магнитного момента вдоль направления поля (см. схему  $\delta$  на рис. 1). На рис. 5, 6 показаны экспериментальные  $M_{\perp c}(B)$  и рассчитанные  $M_a(B)$  кривые намагничивания в полях до 9 Тл. Видно, что предложенная теоретическая модель позволяет хорошо описать поведение кривых намагничивания  $\text{Nd}_{1-x}\text{Dy}_x\text{Fe}_3(\text{BO}_3)_4$  ( $x = 0.15, 0.25$ ) в базисной плоскости и их температурную зависимость, аналогичную экспериментальной.

Рассмотрим ситуацию, возникающую с намагничиванием  $\text{Nd}_{1-x}\text{Dy}_x\text{Fe}_3(\text{BO}_3)_4$  ( $x = 0.15, 0.25$ ) при  $\mathbf{B} \perp \mathbf{c}$  в небольших полях  $B < 1 \text{ Тл}$  (для сравне-

ния с экспериментальными кривыми  $M_{\perp c}(B)$  выбрано направление  $\mathbf{B} \parallel \mathbf{a}$ ). В соответствии с предложенной теоретической моделью и анализом экспериментальных данных в поле  $B = 0$  для  $T < T_{SR}$  ферробораты  $\text{Nd}_{1-x}\text{Dy}_x\text{Fe}_3(\text{BO}_3)_4$  ( $x = 0.15, 0.25$ ) находятся в легкоосном состоянии, магнитные моменты железной  $\mathbf{M}_i^{\text{Fe}}$  и редкоземельной  $\mathbf{m}_i^R$  подсистем направлены вдоль оси  $c$ , т. е. для направлений  $\mathbf{B} \perp \mathbf{c}$  соединения изначально находятся в угловой фазе (см. схему  $\gamma$  на рис. 1). Таким образом, существует возможность реализации индуцированного полем  $\mathbf{B} \perp \mathbf{c}$  спин-переориентационного перехода, после которого магнитные моменты Fe- и R-подсистем будут находиться уже в плоскости  $ab$ . В данной фазе происходят поворот магнитных моментов Fe-подсистемы к направлению поля и увеличение проекции магнитного момента  $\mathbf{m}_i^R$  на направление поля (схема  $\delta$  на рис. 1). Тогда возможная аномалия на кривых  $M_{\perp c}(B)$  при индуцированном полем  $\mathbf{B} \perp \mathbf{c}$  спин-переориентационном переходе будет обусловлена разницей между угловой фазой 1 (схема  $\gamma$  на рис. 1) и угловой фазой 2 (схема  $\delta$  на рис. 1). На рис. 5, 6 видно, что экспериментальные кривые  $M_{\perp c}(B)$  практически не обнаруживают видимых аномалий, т. е. в данном случае можно предположить отсутствие индуцированного полем  $\mathbf{B} \perp \mathbf{c}$  спин-переориентационного перехода или его невыраженную реализацию, при которой проекции магнитных моментов вдоль направления поля не меняются. Расчеты кривых  $M_{\perp c}(B)$  при реализации индуцированного спин-переориентационного перехода практически не показывают наличие аномалий в критическом поле перехода. Отметим, что подобная слабая выраженность аномалий при индуцированном полем  $\mathbf{B} \perp \mathbf{c}$  спин-переориентационном переходе наблюдалась на рассчитанных кривых  $M_a(B)$  и более заметны аномалии на экспериментальных кривых  $M_a(B)$   $\text{HoFe}_3(\text{BO}_3)_4$  [20, 24, 25]. Представленные на рис. 5, 6 теоретические кривые рассчитаны по схеме  $\gamma$  (см. рис. 1) при  $T < T_{SR}$  и по схеме  $\delta$  при  $T > T_{SR}$  ( $T_{SR} \approx 12.5 \text{ К}$  ( $x = 0.15$ ) и  $T_{SR} \approx 24 \text{ К}$  ( $x = 0.15$ )). Также на рис. 5*a*, 6*a* показаны составляющие вклада в намагниченность при  $T = 2 \text{ К}$ , из сравнения которых понятна степень ответственности каждого вклада за результирующий вид кривой  $M_{\perp c}(B)$ .

В начальную восприимчивость  $\text{Nd}_{1-x}\text{Dy}_x\text{Fe}_3(\text{BO}_3)_4$  дают вклад как упорядоченная при  $T < T_N$  железная подсистема, так и редкоземельные (неодимовая и диспрозиевая), подмагниченные  $f-d$ -взаимодействием. Рассчитывая эти вклады самосогласованным образом так, как это описано в разд. 3, получаем температурные за-



**Рис. 7.** Температурные зависимости начальной магнитной восприимчивости  $\text{Nd}_{0.75}\text{Dy}_{0.25}\text{Fe}_3(\text{BO}_3)_4$  (а) и  $\text{Nd}_{0.85}\text{Dy}_{0.15}\text{Fe}_3(\text{BO}_3)_4$  (б) для направлений магнитного поля  $\mathbf{B} \parallel \mathbf{c}$  и  $\mathbf{B} \perp \mathbf{c}$  при  $B = 0.01$  Тл. Значки — экспериментальные данные, линии — расчет. На вставках — низкотемпературная область кривых  $\chi_{c,\perp c}(T)$  при  $T < T_N$ . Штриховые кривые — дальнейший рассчитанный ход кривых  $\chi_c(T)$  в соответствующих фазах

вистости начальных восприимчивостей  $\chi_{c,\perp c}(T)$ , изображенные на рис. 7 для  $\text{Nd}_{0.75}\text{Dy}_{0.25}\text{Fe}_3(\text{BO}_3)_4$  (а) и  $\text{Nd}_{0.85}\text{Dy}_{0.15}\text{Fe}_3(\text{BO}_3)_4$  (б). Там же точками приведены экспериментальные кривые  $\chi_{c,\perp c}(T)$ . Видно, что в высокотемпературной области от  $T_N \approx 31$  К до  $T_N = 300$  К рассчитанные кривые хорошо описывают эксперимент и для  $x = 0.25$  (а), и для  $x = 0.15$  (б). Расчеты показывают, что анизотропия кривых  $\chi_{c,\perp c}(T)$  в парамагнитной области температур обусловлена в основном

вкладом от диспрозиевой части редкоземельной подсистемы. Наблюдаемое значительное возрастание кривых  $\chi_{c,\perp c}(T)$  при  $T < T_N$  связано с вкладом R-подсистемы. Подобное возрастание кривых  $\chi_{c,\perp c}(T)$  при  $T < T_N$  наблюдалось также у  $\text{ErFe}_3(\text{BO}_3)_4$  [18, 19] и  $\text{HoFe}_3(\text{BO}_3)_4$  [20, 24, 25].

На рис. 7 видно, что аномалии на экспериментальных кривых  $\chi_c(T)$ , соответствующие антиферромагнитному упорядочению в Fe-подсистеме, при  $T_N \approx 31$  К практически не видны. Затем при уменьшении температуры экспериментальные кривые  $\chi_c(T)$  продолжают возрастать, что характерно для легкоплоскостного состояния, а при  $T \approx 24$  К (для  $x = 0.25$  (а)) и  $T \approx 12.5$  К (для  $x = 0.15$  (б)) происходит резкий спад кривых  $\chi_c(T)$ , которое можно объяснить, предположив наличие спин-переориентационного перехода из легкоплоскостного в легкоосное состояние, что подтверждается выполненными расчетами (сплошные линии на рис. 7).

На вставках к рис. 7а, б приведены низкотемпературные области (для  $T < T_N \approx 31$  К) экспериментальных и рассчитанных зависимостей  $\chi_{c,\perp c}(T)$ . Хорошо видны сглаженные ступенчатые аномалии на экспериментальной кривой  $\chi_c(T)$  для  $\text{Nd}_{0.75}\text{Dy}_{0.25}\text{Fe}_3(\text{BO}_3)_4$  (а) при  $T_1 \approx 16$  К и  $T_2 \approx 24$  К. В случае  $\text{Nd}_{0.85}\text{Dy}_{0.15}\text{Fe}_3(\text{BO}_3)_4$  (вставка к рис. 7б) наблюдается относительно плавное без заметных ступенек убывание экспериментальной кривой  $\chi_c(T)$  при  $T < T \approx 12.5$  К. Отметим, что для  $\text{Nd}_{0.75}\text{Dy}_{0.25}\text{Fe}_3(\text{BO}_3)_4$  подобные показанным на рис. 7а ступенчатые аномалии, слабо выраженные для 1 кЭ и хорошо наблюдаемые для 10 и 13 кЭ, видны и на кривых  $\chi_c(T)$  из работы [4] (см. рис. 1б в работе [4]). Таким образом, в отличие от кривых намагничивания  $M_c(B)$ , характеры аномалий на кривых  $\chi_c(T)$   $\text{Nd}_{0.75}\text{Dy}_{0.25}\text{Fe}_3(\text{BO}_3)_4$  в данной работе и в работе [4] согласуются.

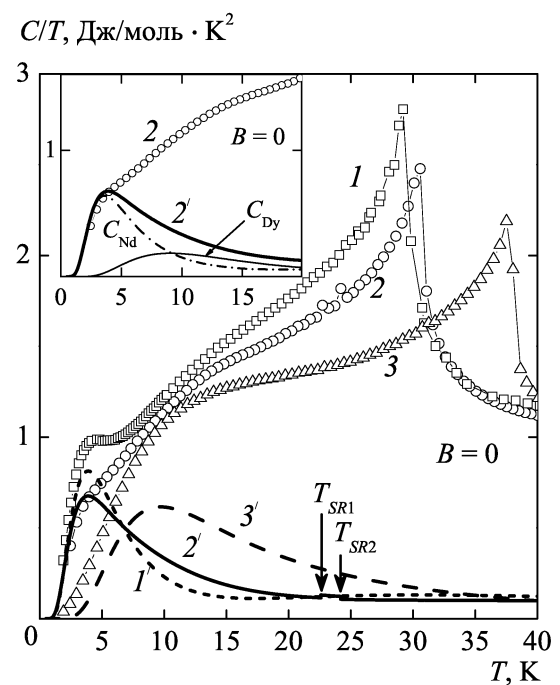
Проведенные расчеты и анализ экспериментальных данных позволили сделать предположение, что наблюдаемые в случае  $\text{Nd}_{0.75}\text{Dy}_{0.25}\text{Fe}_3(\text{BO}_3)_4$  ступенчатые аномалии на кривых  $\chi_c(T)$  обусловлены сменой при повышении температуры легкоосного состояния на легкоплоскостное не единственным скачком при  $T_{SR}$ , как в случае  $\text{HoFe}_3(\text{BO}_3)_4$  [20, 24, 25], а с разделенной по температуре реализацией при  $T_{SR1} \approx 16$  К промежуточного состояния с отклоненными магнитными моментами железной и редкоземельной подсистем от оси  $c$  и затем легкоплоскостного состояния при  $T_{SR2} \approx 23.3$  К. Что касается низкотемпературной области экспериментальных кривых  $\text{Nd}_{0.85}\text{Dy}_{0.15}\text{Fe}_3(\text{BO}_3)_4$  (вставка к рис. 7б), на

которой не видно выраженных ступенек, то расчеты и в данном случае демонстрируют лучшее совпадение с экспериментом в предположении, что переориентация магнитных моментов обеих подрешеток ионов  $\text{Nd}^{3+}$  и  $\text{Dy}^{3+}$  ( $T_{SR2} \approx 11.8$  К) происходит после реализации промежуточной угловой фазы при  $T_{SR1} \approx 10$  К. Показанные на вставках к рис. 7а, б рассчитанные штриховые кривые  $\chi_c(T)$  демонстрируют дальнейший ход кривых  $\chi_c(T)$  в легкоосном, промежуточном и легкоплоскостном состояниях в случае, если бы в  $\text{Nd}_{1-x}\text{Dy}_x\text{Fe}_3(\text{BO}_3)_4$  при рассчитанных  $T_{SR1} \approx 16$  К,  $T_{SR2} \approx 24$  К (для  $x = 0.25$  (а)) и  $T_{SR1} \approx 10$  К,  $T_{SR2} \approx 11.8$  К (для  $x = 0.15$  (б)) не произошла бы переориентация магнитных моментов редкоземельной и железной подсистем.

При направлении магнитного поля в базисной плоскости температурные зависимости начальной магнитной восприимчивости  $\chi_{\perp c}(T)$   $\text{Nd}_{0.75}\text{Dy}_{0.25}\text{Fe}_3(\text{BO}_3)_4$  (а) и  $\text{Nd}_{0.85}\text{Dy}_{0.15}\text{Fe}_3(\text{BO}_3)_4$  (б) демонстрируют аномалии вблизи 24 К (а) и 11.8 К (б), связанные со спин-переориентационным переходом, слабо выраженные и на экспериментальных, и на рассчитанных кривых (рис. 7а, б). Переориентация магнитных моментов всех подсистем (из состояния  $\gamma$  в состояние  $\delta$ , см. схемы на рис. 1) происходит практически с полным сохранением их проекций вдоль поля  $\mathbf{B} \perp \mathbf{c}$ .

Отметим, что при расчете кривых  $\chi_{c,\perp c}(T)$  в упорядоченной области температур использовались параметры соединений, определенные при анализе полевых зависимостей кривых намагничивания  $M_{c,\perp c}(B)$ , подгоночных параметров не было.

Экспериментальные данные для теплоемкости  $\text{NdFe}_3(\text{BO}_3)_4$  (кривая 1 построена по данным работы [28]),  $\text{Nd}_{0.75}\text{Dy}_{0.25}\text{Fe}_3(\text{BO}_3)_4$  (кривая 2) и  $\text{DyFe}_3(\text{BO}_3)_4$  (кривая 3 построена по данным работы [29]) при  $B = 0$  представлены на рис. 8 в координатах  $C/T(T)$ . Хорошо видимый пик на кривой 1 при  $T \approx 4.1$  К, менее выраженные пики вблизи  $T = 3.8$  К и  $T = 13.4$  К на кривой 2 и широкий пик при  $T \approx 10.6$  К на кривой 3 являются аномалиями Шоттки. На кривой 2 различимы также небольшие острые пики при  $T = 22.6$  К и  $T = 24.2$  К, которые, по-видимому, связаны со спонтанным спин-переориентационным переходом  $\text{Nd}_{0.75}\text{Dy}_{0.25}\text{Fe}_3(\text{BO}_3)_4$  из легкоосного в легкоплоскостное состояние. Отметим, что аномалия на кривой  $C/T(T)$ , обусловленная спонтанным спин-переориентационным переходом в  $\text{HoFe}_3(\text{BO}_3)_4$  [20, 25], выражена значительно сильнее. Также на рис. 8 приведен рассчитанный вклад редкоземельной подсистемы в теплоемкость



**Рис. 8.** Термоемкость  $\text{NdFe}_3(\text{BO}_3)_4$  (1),  $\text{Nd}_{0.75}\text{Dy}_{0.25}\text{Fe}_3(\text{BO}_3)_4$  (2) и  $\text{DyFe}_3(\text{BO}_3)_4$  (3) для  $B = 0$ . Значки — экспериментальные данные (кривые 1 и 3 построены по данным работ [28, 29]), линии — рассчитанный вклад R-подсистемы в теплоемкость:  $\text{NdFe}_3(\text{BO}_3)_4$  (штриховая кривая 1'),  $\text{Nd}_{0.75}\text{Dy}_{0.25}\text{Fe}_3(\text{BO}_3)_4$  (сплошная кривая 2') и  $\text{DyFe}_3(\text{BO}_3)_4$  (штрихпунктирная кривая 3'). На вставке — низкотемпературная область экспериментальной и рассчитанных (показаны составляющие R-вклада) кривых  $C/T(T)$   $\text{Nd}_{0.75}\text{Dy}_{0.25}\text{Fe}_3(\text{BO}_3)_4$

$\text{NdFe}_3(\text{BO}_3)_4$  (кривая 1', рассчитанная с параметрами из работы [9]),  $\text{Nd}_{0.75}\text{Dy}_{0.25}\text{Fe}_3(\text{BO}_3)_4$  (кривая 2') и  $\text{DyFe}_3(\text{BO}_3)_4$  (кривая 3', рассчитанная с параметрами из работы [10]). Вклад R-подсистемы в теплоемкость  $\text{Nd}_{0.75}\text{Dy}_{0.25}\text{Fe}_3(\text{BO}_3)_4$  (кривая 2') до  $T = 22.6$  К рассчитан для легкоосного состояния, затем до  $T = 24.2$  К в промежуточ-

ном состоянии, а для  $T > T_{SR} \approx 24.2$  К — в легкоплоскостном состоянии. На вставке к рис. 8 показана низкотемпературная область экспериментальной и рассчитанных кривых  $C/T(T)$  для  $\text{Nd}_{0.75}\text{Dy}_{0.25}\text{Fe}_3(\text{BO}_3)_4$ . Приведены рассчитанный вклад R-подсистемы (кривая 2') и составляющие данного вклада от неодимовой и диспрозиевой подсистем.

На рис. 8 видно, что расчет вклада R-подсистемы в теплоемкость соединений  $\text{Nd}_{1-x}\text{Dy}_x\text{Fe}_3(\text{BO}_3)_4$  ( $x = 0, 0.25, 1$ ) для  $B = 0$  воспроизводит результаты эксперимента. Низкотемпературная аномалия Шоттки для  $\text{Nd}_{0.75}\text{Dy}_{0.25}\text{Fe}_3(\text{BO}_3)_4$  (кривые 2, 2') обусловлена вкладом от неодимовой подсистемы и связана с перераспределением населенностей уровней основного дублета иона  $\text{Nd}^{3+}$ , расщепленного  $f-d$ -взаимодействием (см. вставку на рис. 8). Аномалия Шоттки на экспериментальной кривой 2 вблизи  $T = 13.4$  К обусловлена вкладом от диспрозиевой подсистемы, однако видно, что выраженность данной аномалии на суммарной расчетной кривой 2' ухудшается при учете вклада и от неодимовой части редкоземельной подсистемы.

Расчеты показывают, что если бы в  $\text{Nd}_{0.75}\text{Dy}_{0.25}\text{Fe}_3(\text{BO}_3)_4$  при понижении температуры не произошел бы спин-переориентационный переход, то для легкоплоскостного состояния аномалия Шоттки находилась бы вблизи  $T = 6.2$  К. Также для  $\text{Nd}_{0.75}\text{Dy}_{0.25}\text{Fe}_3(\text{BO}_3)_4$  расчеты предсказывают сдвиг аномалии Шоттки в поле  $\mathbf{B} \parallel \mathbf{c}$  с увеличением поля в сторону больших температур.

0.25) спонтанный спин-переориентационный переход является магнитным аналогом эффекта Яна–Теллера. Найденные параметры позволили описать экспериментальные кривые намагничивания  $M_{c,\perp c}(B)$  для разных температур, а также экспериментальную зависимость  $B_{SF}(T)$ : критическое поле спин-флоп-перехода уменьшается с возрастанием температуры вследствие уменьшения суммарной эффективной константы анизотропии соединения. Для каждого состава описан обнаруженный при  $T < T_{SR}$  спин-флоп-переход для  $\mathbf{B} \parallel \mathbf{c}$  и предложен один из возможных вариантов объяснения ступенчатого характера связанных с ним аномалий на кривых  $M_c(B)$ .

Получено хорошее согласие экспериментальных и рассчитанных температурных зависимостей  $\chi_{c,\perp c}(T)$  в парамагнитной области температур при  $\Theta = -132$  К ( $x = 0.15$ ),  $\Theta = -135$  К ( $x = 0.25$ ). Рассмотрение конкурирующих вкладов подсистем в полную анизотропию  $\text{Nd}_{1-x}\text{Dy}_x\text{Fe}_3(\text{BO}_3)_4$  показало возможность описания обнаруженных аномалий на кривых  $\chi_{c,\perp c}(T)$  ниже температуры Нееля. Рассчитанный вклад R-подсистемы в теплоемкость  $\text{Nd}_{1-x}\text{Dy}_x\text{Fe}_3(\text{BO}_3)_4$  ( $x = 0, 0.25, 1$ ) для  $B = 0$  воспроизводит результаты эксперимента и позволяет понять степень ответственности составляющих редкоземельного вклада за наблюдаемые аномалии Шоттки.

Благодарим А. П. Пятакова за полезные обсуждения и интерес к работе.

Работа выполнена при финансовой поддержке гранта Президента РФ (МК-497.2010.2).

## 5. ЗАКЛЮЧЕНИЕ

Проведено экспериментальное и теоретическое исследование магнитных свойств ферроборатов замещенных составов  $\text{Nd}_{1-x}\text{Dy}_x\text{Fe}_3(\text{BO}_3)_4$  ( $x = 0.15, 0.25$ ) с конкурирующими обменными Nd–Fe- и Dy–Fe-взаимодействиями и получено согласие теории и эксперимента для всей совокупности измеренных характеристик. Единый теоретический подход, основанный на модели кристаллического поля для редкоземельного иона и приближении молекулярного поля, позволил определить параметры ферроборатов  $\text{Nd}_{1-x}\text{Dy}_x\text{Fe}_3(\text{BO}_3)_4$  ( $x = 0.15, 0.25$ ) при сравнении результатов расчета с экспериментальными данными. Значения найденных параметров сравнимы по величине с параметрами чистых ферроборатов с R = Nd, Dy (см. табл. 2).

Проведенные расчеты показали, что обнаруженный для  $\text{Nd}_{1-x}\text{Dy}_x\text{Fe}_3(\text{BO}_3)_4$  ( $x = 0.15$ ,

## ЛИТЕРАТУРА

1. А. К. Звездин, С. С. Кротов, А. М. Кадомцева и др., Письма в ЖЭТФ **81**, 335 (2005).
2. А. К. Звездин, Г. П. Воробьев, А. М. Кадомцева и др., Письма в ЖЭТФ **83**, 600 (2006).
3. J. A. Campa, C. Cascales, E. Gutierrez-Puebla et al., Chem. Mater. **9**, 237 (1997).
4. Ю. Ф. Попов, А. М. Кадомцева, Г. П. Воробьев и др., Письма в ЖЭТФ **89**, 405 (2009).
5. I. A. Gudim, E. V. Eremin, and V. L. Temerov, J. Cryst. Growth **312**, 2427 (2010).
6. А. К. Звездин, А. М. Кадомцева, Ю. Ф. Попов и др., ЖЭТФ **136**, 80 (2009).
7. Г. А. Звягина, К. Р. Жеков, И. В. Бильч и др., ФНТ **36**, 352 (2010).

8. R. P. Chaudhury, F. Yen, B. Lorenz et al., Phys. Rev. B **80**, 104424 (2009).
9. Д. В. Волков, А. А. Демидов, Н. П. Колмакова, ЖЭТФ **131**, 1030 (2007).
10. Д. В. Волков, А. А. Демидов, Н. П. Колмакова, ЖЭТФ **133**, 830 (2008).
11. Y. Hinatsu, Y. Doi, K. Ito et al., J. Sol. St. Chem. **172**, 438 (2003).
12. C. Cascales, C. Zaldo, U. Caldino et al., J. Phys.: Condens. Matter **13**, 8071 (2001).
13. Е. А. Попова, Д. В. Волков, А. Н. Васильев и др., Труды 34-го совещания по физике низких температур, т. 1, Изд. РГПУ, Ростов-на-Дону (2006), с. 78.
14. E. A. Popova, D. V. Volkov, A. N. Vasiliev et al., Phys. Rev. B **75**, 224413 (2007).
15. D. V. Volkov, E. A. Popova, N. P. Kolmakova et al., J. Magn. Magn. Mat. **316**, e717 (2007).
16. Д. В. Волков, А. А. Демидов, Труды 35-го совещания по физике низких температур НТ-35, Черноголовка (2009), с. 158.
17. A. A. Demidov, N. P. Kolmakova, D. V. Volkov et al., Physica B **404**, 213 (2009).
18. D. V. Volkov and A. A. Demidov, Abstracts of International conference on Functional Materials (ICFM-2009), Crimea, Ukraine (2009), p. 159.
19. Д. В. Волков, А. А. Демидов, Фазовые переходы, упорядоченные состояния и новые материалы **5**, 1 (2010).
20. А. А. Демидов, Д. В. Волков, ФТТ **53**, 926 (2011).
21. А. К. Звездин, В. М. Матвеев, А. А. Мухин, А. И. Попов, Редкоземельные ионы в магнитоупорядоченных кристаллах, Наука, Москва (1985), с. 103.
22. G. A. Gehring and K. A. Gehring, Rep. Progr. Phys. **38**, 1 (1975).
23. S. A. Kharlamova, S. G. Ovchinnikov, A. D. Balaev et al., ЖЭТФ **128**, 1252 (2005).
24. C. Ritter, A. Vorotynov, A. Pankrats et al., J. Phys.: Condens. Matter **20**, 365209 (2008).
25. A. Pankrats, G. Petrakovskii, A. Kartashev et al., J. Phys.: Condens. Matter **21**, 436001 (2009).
26. A. A. Demidov, N. P. Kolmakova, L. V. Takunov et al., Physica B **398**, 78 (2007).
27. Д. В. Волков, А. А. Демидов, Н. П. Колмакова и др., ФТТ **50**, 1613 (2008).
28. Е. А. Попова, Н. Тристан, Х. Хесс и др., ЖЭТФ **132**, 121 (2007).
29. E. A. Popova, N. Tristan, and A. N. Vasiliev, Eur. Phys. J. B **62**, 123 (2008).